

Bild 18. Die X-Y-Vektordiagramme der Baistörungen in den einzelnen Tagesabschnitten, nach STEINER

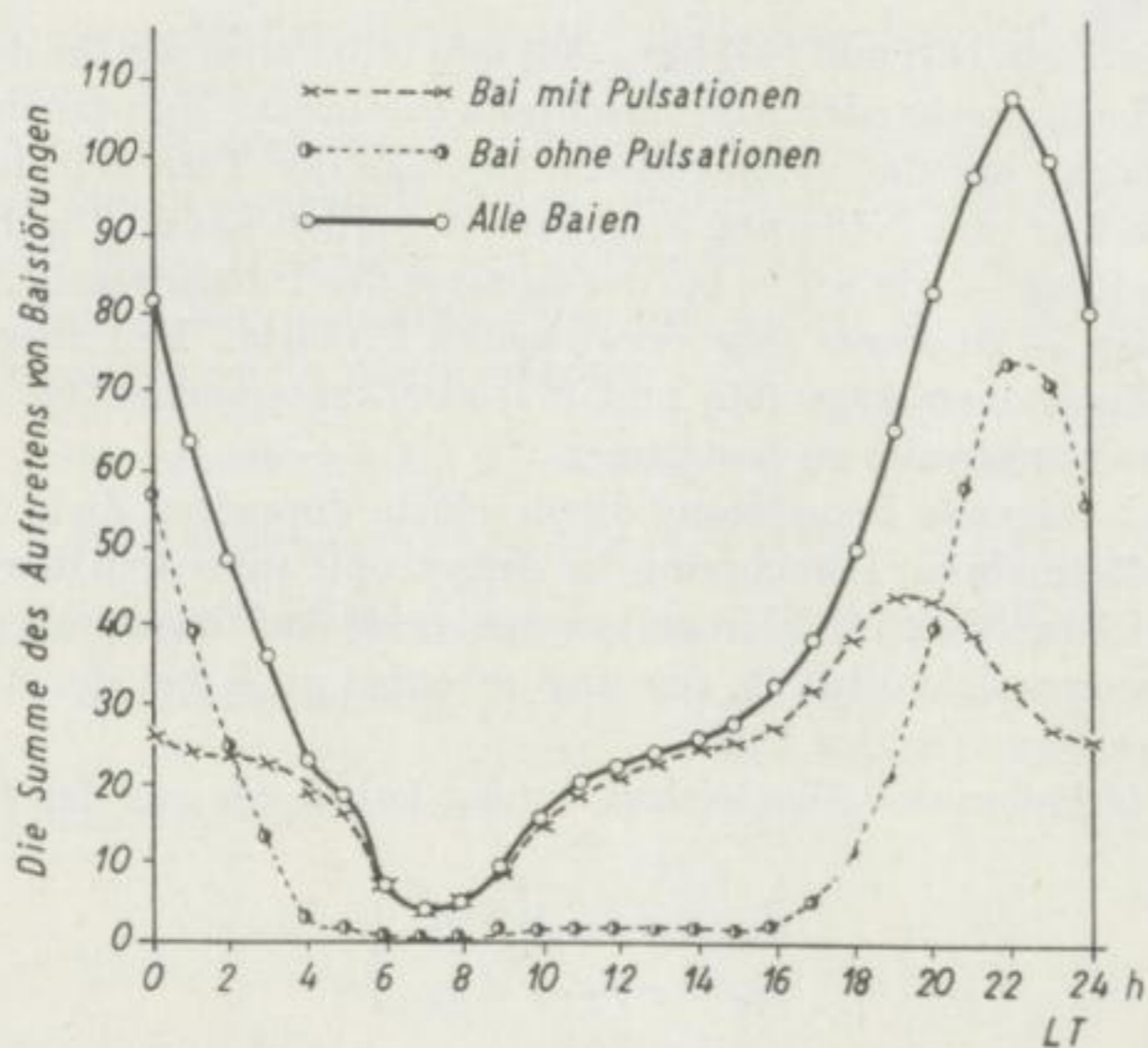


Bild 19. Die tageszeitliche Verteilung der Häufigkeit der tellurisch wahrgenommenen Baistörungen zwischen 1957 und 1960

horizontaler Ebene gezeichnet hat (in Ógyalla) und mit dem auf Grund unserer eigenen Beobachtungen angefertigten Bild über die Tagesverteilung der Häufigkeit der tellurischen Baien (Bild 19).

Auf Grund unserer früheren Untersuchungen müssen sowohl die magnetischen als auch die tellurischen Vektordiagramme (absolute Ellipsen) und die